

ژئوشیمی و ترموبارومتری سنگ‌های آذرین مافیک کمپلکس آلمابولاغ (شمال غرب ایران)

محبوبه جمشیدی بدر؛ گروه زمین‌شناسی، دانشگاه پیام نور، ایران

دریافت ۹۴/۱۰/۱۶ پذیرش ۹۴/۷/۲۲

چکیده

کمپلکس آلمابولاغ در شمال غرب استان همدان و در پهنه ساختاری سنندج-سیرجان قرار دارد و شامل سنگ‌های دگرگونی درجه پایین و دو توده نفوذی فلزیک و مافیک است. این تحقیق در مورد توده نفوذی مافیک کمپلکس آلمابولاغ است. سنگ‌های این توده بافت‌های افیتیک، ساب افیتیک و اینترگرانولار دارند و دارای کانی‌های اصلی پلازیوکلاز، کلینوپیروکسن، آمفیبیول و با فراوانی کمتر کانی‌های کوارتز، آلکالی فلدسپار و کانی‌های اپک هستند. کانی‌های ثانویه این توده شامل کانی‌های اپیدوت، کلریت و آمفیبیول‌هایی است که در حاشیه کلینوپیروکسن‌ها تشکیل شده‌اند. شیمی کانی‌های این توده شامل کلینوپیروکسن از نوع اوژیت، آمفیبیول از نوع چرم‌ماکیت، پلازیوکلاز در محدوده آندزین تا لابرادوریت، آلکالی فلدسپار از نوع آنورتوکلاز و کانی‌های اپک از نوع ایلمنیت است. سری ماغماهای توده مافیک کمپلکس آلمابولاغ بر مبنای شیمی سنگ کل کالکوآلکالن است و عنصر Nb نرمالیزه شده به گوشتۀ اولیه، آنومالی منفی دارد که معرف محیط‌های فرورانشی است. بر مبنای شیمی کانی پیروکسن سری ماغماهای توده نفوذی مافیک آلمابولاغ از نوع کالکوآلکالن و محیط تکتونیکی آن مربوط به محیط‌های فرورانشی است. جای‌گیری این توده بر اساس ترمومتر پیروکسن-آمفیبیول و بارومتر آمفیبیول در حرارت ۷۵۰-۹۰۰ درجه سانتی‌گراد و فشار (عمق) ۶-۷ کلیوبار است. ماغماهای اولیه توده نفوذی مافیک کمپلکس آلمابولاغ بر مبنای نسبت Sm/Yb و La/Sm از ذوب بخشی گارنت-اسپینل لرزولیت منشأ گرفته و در اواخر ژوراسیک-اوایل کرتاسه در مناطق فرورانشی قبل از بسته شدن کامل نشوتنیس در زون سنندج-سیرجان تشکیل شده است. واژه‌های کلیدی: سنندج-سیرجان، کمپلکس توده نفوذی مافیک آلمابولاغ، شیمی کانی‌ها، ترموبارومتری.

مقدمه

پژوهش‌های صحرایی، پتروگرافی، شیمی سنگ کل و شیمی کانی‌ها در تفسیر ژنز ماغماها کاربرد گسترده‌ای دارند [۱]-[۶]. محققان از کاربرد ترکیب شیمیایی آمفیبیول و پیروکسن (که اکثرًا در سنگ‌های آذرین مافیک حضور دارند) در تعیین ماهیت ماغماها استفاده کردند که هم‌پوشانی با داده‌های حاصل از ژئوشیمی سنگ کل توده‌های نفوذی دارند [۷]-[۱۰]. هم‌چنان میزان آلومینیم در کانی آمفیبیول در ارتباط با عمق جای‌گیری توده‌های نفوذی است [۱۰]-[۱۵] و می‌تواند عمق جای‌گیری توده نفوذی را مشخص کند. توده مافیک کمپلکس آلمابولاغ که در زون سنندج-سیرجان و در شمال غرب استان همدان بروزند دارد. این توده، نسبت به توده فلزیک این کمپلکس حجم کمتری دارد و حتی نسبت به سایر توده‌های مافیک همدان وسعت خیلی کمتری دارد. در بین توده‌های نفوذی سنندج-سیرجان، در باره توده‌های مافیک معمولاً کمتر بحث و بررسی شده است

*نویسنده مسئول m_jamshidi@pnu.ac.ir

[۱۶]-[۲۲]، از این رو، پتروژنر ماقمای توده نفوذی مافیک و ترموبارومتری این توده نفوذی با استفاده از شیمی کانی‌های توده نفوذی مافیک کمپلکس آلمابلاع در این تحقیق همراه با بررسی‌های صحرایی، پتروگرافی و شیمی سنگ کل بحث و بررسی شده است تا روند جای‌گیری و ماهیت ماقمای توده مافیک کمپلکس آلمابلاع در زون سندج-سیرجان معرفی شود.

زمین‌شناسی عمومی کمپلکس آلمابلاع

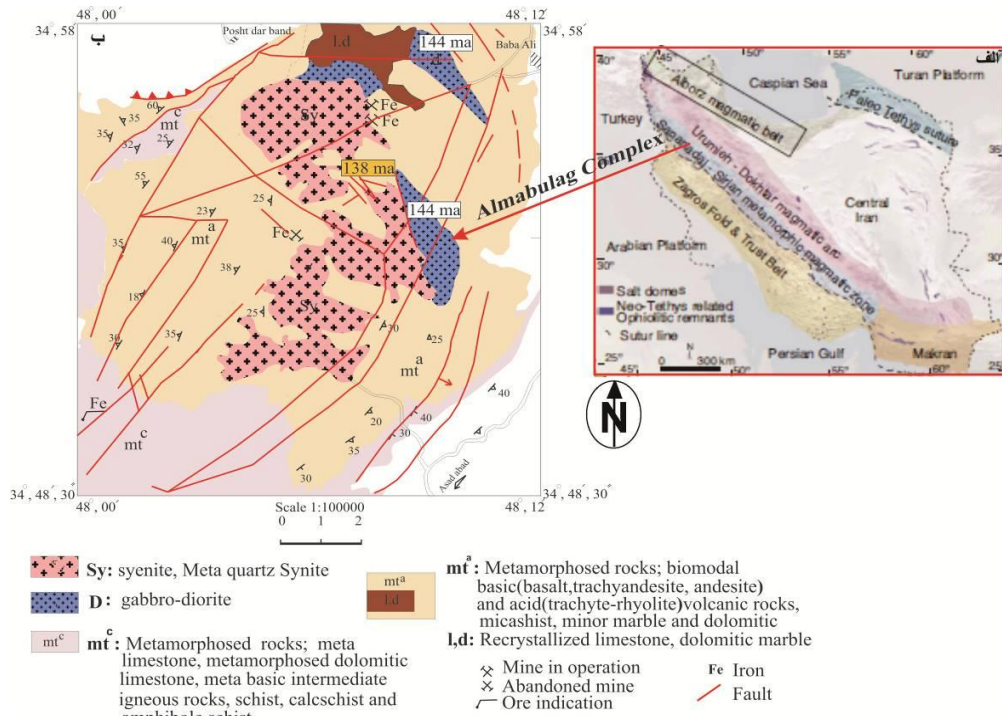
کمپلکس آلمابلاع که بهنام‌های آلماقلاع یا آلماقلاع نیز نامیده می‌شود در شمال‌غرب ایران، در شمال‌غرب استان همدان در طول‌های جغرافیایی $۳۴^{\circ} ۵۸' - ۳۴^{\circ} ۴۸'$ شرقی و عرض‌های جغرافیایی $۴۰^{\circ} ۳۰' - ۴۲^{\circ} ۱۲'$ شمالی قرار دارد. این کمپلکس از لحاظ ساختاری در زون دگرگونی سندج-سیرجان و در نقشه زمین‌شناسی ۱/۱۰۰۰۰۰ توپوگرافیک بروز زد دارد (شکل ۱) که شامل انواع مختلفی از واحدهای رسوبی که در رخساره شیست سبز، دگرگون شده‌اند و دو نوع توده نفوذی آذرین فلزیک و مافیک است. قدیمی‌ترین واحدهای رسوبی در نقشه زمین‌شناسی توپوگرافیک کوه آلمابلاع قرار گرفته که مجموعه رسوبی-آتشفشاری است که در حد رخساره شیست سبز، دگرگون شده‌اند و شامل سنگ‌های متاریوپاتیت، متاریولیت، سنگ آهک‌های دولومیتی و مرمریتی بهرنگ سفید، سبز تا خاکستری روش است (شکل ۱).

توده آذرین مافیک کمپلکس آلمابلاع در سه منطقه از این مجموعه بروز زد دارد (شکل ۱). از لحاظ ضریب رنگی مزوکراتیک و بهرنگ خاکستری تیره است و در بعضی از بخش‌های آن لکه‌های سبز و گاهی تیره نیز دیده می‌شود (شکل ۲ الف). در بعضی از بخش‌ها رگه‌های اپیدوتیتی در توده مافیک کمپلکس آلمابلاع مشاهده می‌شود (شکل ۲ ب). سن توده نفوذی مافیک به روش Rb-Sr در حدود ۱۴۴ ± ۱۷ میلیون سال (اوخرژوراسیک - اوایل کرتاسه) تعیین شده است [۲۳] و سن توده نفوذی فلزیک کمپلکس آلمابلاع اخیراً با سن‌سنجدی U-(Th)-Pb تیره کانی تیتانیت، در محدوده ۹۵ تا ۱۳۸ میلیون سال [۲۴] تعیین شده است. با توجه به سن‌سنجدی‌های انجام شده در مورد توده‌های نفوذی فلزیک و مافیک در کمپلکس آلمابلاع، جای‌گیری توده‌های آذرین در این کمپلکس مربوط به اوخر ژوراسیک تا اوایل کرتاسه در زون سندج-سیرجان است [۲۳]، [۲۴].

مواد و روش‌ها

آنالیز سنگ کل

شش نمونه از سنگ‌های مافیک کمپلکس آلمابلاع که حداقل دگرسانی را نشان می‌دهند انتخاب شدند و برای تعیین عناصر اصلی و فرعی، به روش ICP-MS با حد آشکارسازی عناصر فرعی بین $0.1 - 100$ ppm و آنالیز XRF در آزمایشگاه شرکت مطالعات مواد معدنی زرآزما تهران- ایران تجزیه شدند (جدول ۱).



شكل ۱. الف) نقشهٔ تکتونیکی ایران بر مبنای نقشهٔ زمین‌شناسی [۲۵]، [۲۶] منطقهٔ بررسی شده روی نقشه نشان داده شده است، ب) نمایش کمپلکس آلمابولاغ و بروند توده‌های نفوذی آن، اقتباس از نقشه ۱/۱۰۰۰۰۰ تویسرکان [۲۷]. تودهٔ مافیک این کمپلکس به رنگ آبی نشان داده شده است که اکثرًا در سمت شرق منطقه و در حاشیهٔ توده نفوذی فلسیک بروند دارند و در نقشهٔ تویسرکان تودهٔ نفوذی مافیک گابرو-دیوریت معروفی شده‌اند. سن‌های نمایش داده شده روی نقشه، سن تودهٔ مافیک اقتباس از [۲۳] و سن تودهٔ فلسیک اقتباس از [۲۴]



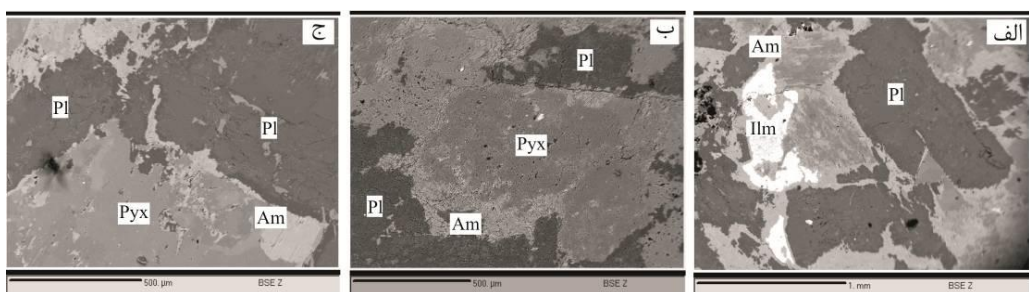
شکل ۲. (الف) برونزد سنگ‌های آذربین مافیک کمپلکس آلمابولاغ در شمال غرب کمپلکس و غرب روستای باباعلی.
ب) برونزد رگه‌های اپیدوت در سنگ‌های آذربین مافیک در شمال کمپلکس و در چند کلومتری شمال معدن آهن باباعلی

آنالیز الکترون مایکروپریوب

برای بررسی شیمی کانی‌ها از کانی‌های توده آذرین مافیک کمپلکس آلماولاغ ۵۰ نقطه آنالیز نقطه‌ای الکترون مایکروپرور (EPMA) و تصاویر (BSE) Back Scattered Electron در آزمایشگاه کانی‌شناسی مرکز تحقیقات فرآوری مواد معدنی ایران انجام شد، نتایج آنالیز چند نقطه از هر کانی در جدول ۲ و تصاییر BSE در شکل ۳ نشان داده شده است.

جدول ۱. نتایج آنالیز ICP-MS و XRF نمونه‌های سنگی توده نفوذی مافیک کمپلکس آلامابلاغ

<i>samples</i>	<i>T-69</i>	<i>T-72</i>	<i>T-75</i>	<i>T-76</i>	<i>T-73</i>	<i>T-77</i>
<i>Major Oxides Wt %</i>						
<i>SiO₂</i>	۵۷/۰۰	۵۴/۹۸	۵۳/۰۰	۵۲/۹۹	۴۵/۷۸	۵۰/۷۹
<i>TiO₂</i>	۰/۵۰	۱/۴۸	۰/۳۹	۰/۶۵	۲/۳۹	۰/۶۸
<i>Al₂O₃</i>	۱۸/۹	۱۴/۲۱	۱۸/۹	۱۷/۷۷	۱۳/۴۲	۱۷/۵۸
<i>TFe₂O₃</i>	۵/۴۰	۱۲/۵۸	۴/۵	۶/۴۱	۱۸/۱۶	۸/۱۱
<i>MnO</i>	۰/۰۹	۰/۱۸	۰/۱۱	۰/۱۳	۰/۱۹	۰/۱۴
<i>MgO</i>	۳/۵۴	۲/۷۵	۳/۲۴	۳/۰۵	۵/۰۴	۵/۰۹
<i>CaO</i>	۱۰/۶۱	۸/۷۳	۱۲/۴۴	۱۰/۸۱	۹/۰۱	۱۰/۸۴
<i>Na₂O</i>	۲/۰۹	۳/۰۵	۲/۸۳	۳/۳۷	۲/۷۸	۳/۲۲
<i>K₂O</i>	۱/۰۵	۱/۵۰	۴/۳۴	۴/۲۵	۱/۴۲	۱/۲۰
<i>P₂O₅</i>	۰/۱۰	۰/۱۱	۰/۰۶	۰/۱۰	۰/۱۵	۰/۱۲
<i>TOTAL</i>	۹۹/۲۸	۹۹/۵۷	۹۹/۸۱	۹۹/۶۳	۹۹/۳۴	۹۸/۲۷
<i>Rare-earth element (ppm)</i>						
<i>La</i>	۸	۱۷	۶	۱۵	۸	۳
<i>Ce</i>	۱۸	۳۶	۱۲	۳۰	۱۸/۳	۷/۵
<i>Pr</i>	۱/۹۳	۳/۹۷	۱/۱۷	۳/۰۴	۳/۱۷	۱/۷۷
<i>Nd</i>	۱۰/۴	۱۹/۳	۷/۴	۱۵	۱۳/۶	۷/۹
<i>Sm</i>	۲/۰۷	۴/۱۹	۱/۴۱	۳/۳۳	۳/۱۲	۱/۸۸
<i>Eu</i>	۰/۸۲	۱/۲۴	۰/۷۷	۱/۱۶	۰/۸	۰/۰۶
<i>Gd</i>	۲/۷۶	۵/۱۸	۲/۳۶	۴/۳۷	۲/۴۸	۱/۴۷
<i>Tb</i>	۰/۴۷	۰/۸۴	۰/۴	۰/۶۸	۰/۶	۰/۳۷
<i>Dy</i>	۲/۲۷	۴/۵۴	۱/۹۵	۳/۷۹	۳/۵۵	۲/۱۹
<i>Er</i>	۲/۴۲	۵/۰۱	۲/۰۸	۴/۱۸	۲/۱۱	۱/۲۳
<i>Tm</i>	۰/۲۴	۰/۵۲	۰/۲	۰/۴۵	۰/۳۲	۰/۱۹
<i>Yb</i>	۱/۳	۲/۵	۱/۱	۲/۱	۱/۹۵	۱/۱
<i>Lu</i>	۰/۱۸	۰/۳۳	۰/۱۵	۰/۲۹	۰/۳	۰/۱۷
<i>REE</i>	۵۰/۸۶	۱۰۰/۶۲	۳۶/۹۹	۸۳/۳۹	۵۸/۴۸	۲۹/۸۹
<i>Trace-element (ppm)</i>						
<i>Ba</i>	۲۰۷	۲۱۹	۱۵۸	۱۵۵	۱۸۲	۳۳/۳
<i>Y</i>	۱۲/۱	۲۴/۱	۱۰/۴	۲۱	۱۴/۴	۹/۰۶
<i>Th</i>	۱/۶	۴/۲۲	۱/۴	۲/۲۳	۴/۱۸	۱/۱۲
<i>Zn</i>	۶۶	۱۰۲	۶۹	۶۸	۶۵/۶	۲۴/۹
<i>V</i>	۹۹	۵۷۹	۹۹	۱۶۳	۴۷۸	۹۳
<i>Cs</i>	۱/۱	۱/۳	۰/۷	۱	۰/۸	۰/۳
<i>Co</i>	۲۱/۹	۶۶/۸	۲۱/۸	۳۱/۱	۵۲/۶	۱۳/۸
<i>Rb</i>	۷۵	۶۳	۲۹	۴۰	۳۰/۷	۷
<i>Zr</i>	۱۵	۱۵	۱۶	۲۰	۲	۳
<i>Pb</i>	۵	۸	۳۳	۸	۴/۶	۴/۸
<i>Cu</i>	۴۸	۵۷	۸۱	۵۶	۶۲/۱	۶۵/۲
<i>Cr</i>	۲۶۰	۱۶	۱۸۷	۱۱۹	۵	۵۸
<i>Sc</i>	۳۰/۵	۴۲/۹	۳۲/۷	۴۳/۳	۲۳	۱۰
<i>Li</i>	۲۸	۴۳	۳۵	۲۵	۴۵/۵	۱۸/۷
<i>Sr</i>	۲۱۳/۸	۲۱۲/۸	۳۴۸	۳۰۴/۷	۱۸۹/۶	۱۸۲/۷
<i>Nb</i>	۷/۲	۹/۸	۴/۴	۹/۱	۱	۱/۳
<i>Ga</i>	۱۱	۱۰	۷/۸۷	۶/۸	۱۳	۵/۷۸
<i>Ni</i>	۷۳	۷	۵۰	۳۳	۷	۲۱
<i>Hf</i>	۰/۵۵	۰/۷	۰/۶	۰/۸۴	۰/۱۴	۰/۱۸
<i>Ta</i>	۰/۶۶	۰/۶۶	۰/۶۸	۰/۶۸	۰/۸	۰/۸
<i>Be</i>	۰/۵	۱/۳	۸/۸	۲/۵	۴/۷	۹



شکل ۳. تصاویر BSE سنگ‌های آذرین مافیک کمپلکس آلمابلاخ. (الف) تصویر کانی‌های پلازیوکلاز، پیروکسن، آمفیبول در حاشیه پیروکسن و کانی‌های اپک (نمونه T-72)، (ب) تصویر کانی پیروکسن که در حاشیه توسط آمفیبول جایگزین شده است (نمونه T-76)، (ج) تصویر پلازیوکلازها که به حالت متقطع قرار گرفته اند و کانی‌های آمفیبول جایگزین شده است (نمونه T-76) (علائم اختصاری استفاده در شکل از [۲۸])

جدول ۲. نتایج تجزیه به روش EPMA کانی‌های پیروکسن، آمفیبول، پلازیوکلاز، ایلمنیت و اپیدوت از سنگ‌های مافیک توده نفوذی کمپلکس آلمابلاخ

Mineral	پیروکسن			آمفیبول			پلازیوکلاز			آلکالی			ایلمنیت			اپیدوت	
	T-72 -1	T-76 -2	T-76 -1	آمفیبول			آمفیبول حاشیه پیروکسن			T-72 -1	T-76 -2	T-72 -2	T-76 -2	T-72 -1	T-76 -2	T-72 -1	T-76 -2
Samples																	
<i>SiO₂</i>	55/35	57/5	54/68	40/01	39/09	43/11	43/97	56/1	56/3	60/06	56/26	0/05	0/08	40/02	25/06		
<i>TiO₂</i>	-0/64	-0/12	-0/64	-0/6	-0/59	-0/50	-0/36	-0/04	-0/02	-0/00	-0/03	49/06	48/28	-0/03	-0/13		
<i>Al₂O₃</i>	-0/77	1/73	2/87	12/26	13/93	12/95	11/92	30/08	29/29	28/08	26/48	0/02	0/11	26/22	29/48		
<i>FeO</i>	9/9	11/48	12/93	25/08	24/50	17/78	16/15	0/25	0/25	0/64	0/54	49/07	49/3	9/15	9/12		
<i>MnO</i>	-0/26	-0/22	-0/22	-0/29	-0/28	-0/28	-0/24	-0/00	-0/00	-0/02	-0/00	2/6	2/7	-0/12	-0/24		
<i>MgO</i>	16/98	16/26	15/38	5/23	5/11	7/68	10/66	0/01	0/01	0/25	0/13	0/1	0/1	-0/0	-0/0		
<i>CaO</i>	13/23	12/9	11/63	11/11	10/85	12/23	12/53	9/12	9/21	1/2	4/25	0/00	0/01	23/78	23/97		
<i>Na₂O</i>	-0/5	-0/46	-0/91	1/75	1/71	-0/-	-0/-	5/22	5/62	7/42	7/03	-0/-	-0/-	-0/0	-0/0		
<i>K₂O</i>	-0/18	-0/17	-0/28	2/53	2/47	1/73	1/31	-0/9	-0/9	3/25	2/45	-0/0	-0/01	-0/01	-0/00		
<i>Total</i>	97/81	100/84	99/54	98/86	98/53	97/35	97/14	100/9	100/7	100/9	100/1	100/9	100/0	99/33	98		
<i>Oxygens</i>	6	6	6	23	23	23	23	8	8	8	8	3	3	12/5	12/5		
<i>Si</i>	2/00	2/118	2/043	6/267	6/120	6/608	6/592	2/485	2/502	2/651	2/600	-0/01	-0/02	3/06	2/743		
<i>Ti</i>	-0/18	-0/003	-0/018	-0/021	-0/069	-0/057	-0/041	-0/001	-0/001	-0/000	-0/001	-0/943	-0/934	-0/002	-0/008		
<i>Al_{total}</i>	-0/34	-0/75	-0/126	2/264	2/031	2/08	2/17	1/571	1/534	1/461	1/443	-0/01	-0/03	2/342	2/718		
<i>Al^V</i>	-0/00	-0/00	-0/00	1/971	1/971	1/184	1/147										
<i>Al^{VI}</i>	-0/34	-0/003	-0/018	-0/293	-0/520	-0/924	-0/960										
<i>Fe₃</i>	-0/00	-0/00	-0/00	-0/00	-0/00	-0/00	-0/00	-0/00	-0/00	-0/00	-0/00	-0/00	-0/00	-0/585	-0/597		
<i>Fe₂</i>	-0/13	-0/354	-0/44	3/286	3/108	2/148	2/125	-0/09	-0/09	-0/74	-0/00	-0/00	-0/00	-0/00	-0/00		
<i>Mn</i>	-0/008	-0/007	-0/007	-0/028	-0/037	-0/036	-0/030	-0/000	-0/000	-0/001	-0/021	1/049	1/060	-0/008	-0/016		
<i>Mg</i>	-0/958	-0/893	-0/857	1/221	1/192	1/730	2/382	-0/001	-0/001	-0/16	-0/009	-0/56	-0/059	-0/000	-0/000		
<i>Ca</i>	-0/535	-0/009	-0/466	1/865	1/820	2/062	2/013	-0/433	-0/439	-0/057	-0/215	-0/004	-0/004	1/948	2/009		
<i>Na</i>	-0/37	-0/033	-0/066	-0/522	-0/519	-0/000	-0/000	-0/448	-0/446	-0/625	-0/630	-0/000	-0/000	-0/000	-0/000		
<i>K</i>	-0/09	-0/008	-0/013	-0/06	-0/439	-0/264	-0/251	-0/005	-0/005	-0/183	-0/144	-0/000	-0/000	-0/001	-0/000		
<i>Sum</i>	4	4	4	16/04	16/03	15/31	15/44	4/954	4/975	5/028	5/064	2	2	8	8		

نتایج

پتروگرافی توده آذرین مافیک کمپلکس آلمابولاغ

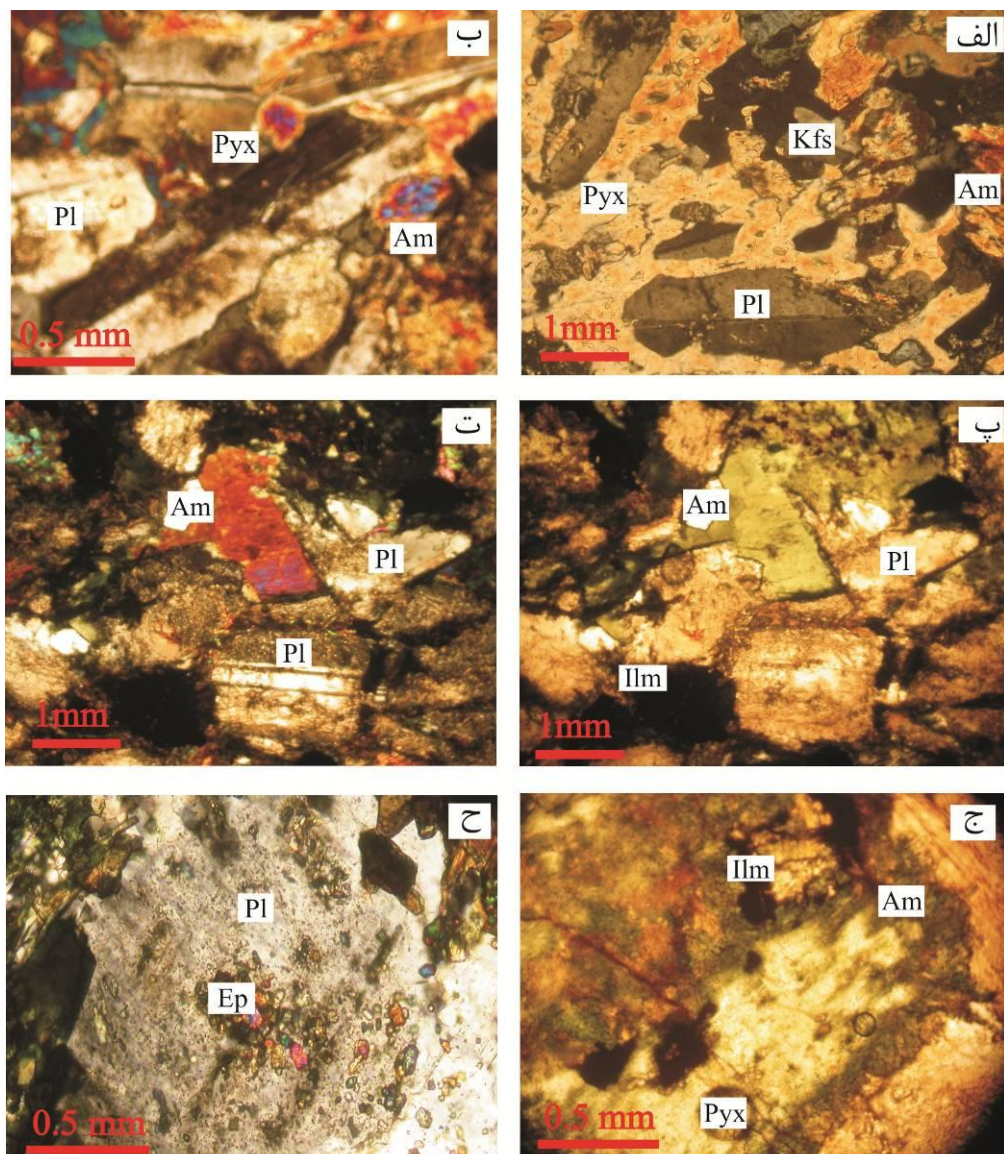
کانی‌های اصلی توده مافیک کمپلکس آلمابولاغ شامل پلازیوکلاز، کلینوپیروکسن، آمفیبیول و در بعضی از نمونه‌ها آلکالی فلدسپار است و کانی‌های فرعی این توده شامل کانی‌های کوارتز و اپک است و کانی‌های ثانویه شامل آمفیبیول در حاشیه کلینوپیروکسن‌ها، اپیدوت و کلریت هستند. نام سنگ‌های این توده در رده بندی درصد حجمی سنگ‌ها [۲۹] در محدوده دیوریت تا پیروکسن-هورنبلند-گابرو قرار می‌گیرد (جدول ۳).

جدول ۳. درصد فراوانی کانی‌های اصلی در سنگ‌های توده مافیک کمپلکس آلمابولاغ. علامت (✓) نشان‌دهنده حضور کانی فرعی یا ثانویه در سنگ است و علامت (—) نشان‌دهنده عدم حضور کانی فرعی یا ثانویه در سنگ است

شماره نمونه‌ها	T-69	T-72	T-73	T-75	T-76	T-77
درصد فراوانی کانی‌ها						
پلازیوکلاز	۶۰	۵۰	۴۰	۵۵	۵۵	۵۰
پیروکسن	۱۰	۳۸	۳۵	۱۰	۳۰	۳۵
آمفیبیول	۲۰	۱۲	۲۵	۲۰	۱۵	۱۵
آلکالی فلدسپار	۱۰	---	✓	۱۵	✓	---
کوارتز	✓	---	---	✓	---	---
آمفیبیول حاشیه	✓	✓	✓	✓	✓	✓
پیروکسن						
کلریت	---	---	✓	✓	---	✓
اپیدوت	✓	✓	✓	✓	✓	✓
کانی‌های اپک	✓	✓	✓	✓	✓	✓
نام سنگ	دیوریت	پیروکسن-	پیروکسن-	دیوریت	پیروکسن-	پیروکسن-
	هورنبلند گابرو					

کانی‌های پلازیوکلاز سنگ‌های توده مافیک کمپلکس آلمابولاغ شکل دار تا نیمه‌شکل دار با ماکل‌های پلی‌سنتتیک و پریکلین است که به صورت متقطع نسبت به یکدیگر قرار می‌گیرند و بین آن‌ها کانی‌های کلینوپیروکسن و آمفیبیول حضور دارند (شکل ۴ الف). پلازیوکلازها به صورت کامل یا بخشی داخل کلینوپیروکسن‌ها نیز دیده می‌شوند (شکل ۴ ب). کانی‌های آمفیبیول با رخ دو جهته مایل و بهرنگ سبز کمرنگ و با خاموشی مایل قابل تشخیص هستند (شکل ۴ پ، ت). کانی‌های کلینوپیروکسن شکل دار تا نیمه شکل دار با ماکل کارلسbad و کوارتز با خاموشی به خشی به آمفیبیول تبدیل شده‌اند (شکل ۴ ج). آلکالی فلدسپارها شکل دار تا نیمه شکل دار با ماکل کارلسbad و کوارتز با خاموشی موجی با فراوانی خیلی کم و کانی‌های اپک در سنگ‌های این توده حضور دارند. کانی‌های ثانویه مثل کلریت و اپیدوت در اثر دگرسانی پلازیوکلازها تشکیل شده‌اند (شکل ۴ ح). با توجه به توصیف پتروگرافی کانی‌ها بافت‌های موجود در سنگ‌های توده مافیک کمپلکس آلمابولاغ شامل بافت‌های افیتیک، ساب افیتیک و اینترگرانولار هستند (شکل ۴).

با توجه به شرایط توصیف شده در بخش پتروگرافی کانی‌های توده نفوذی مافیک کمپلکس آلمابولاغ، تعیین نوع بلورها و انجام تجزیه به روش EPMA به صورت کاملاً هدف‌دار انجام گرفته تا ترکیب شیمی کانی‌های اصلی و کانی‌های فرعی و ثانویه از لحاظ شیمیایی بررسی شوند (شکل ۴).



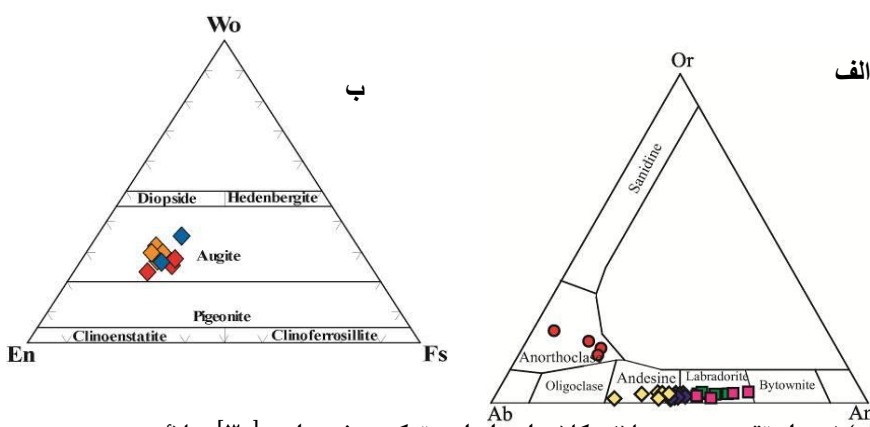
شکل ۴. تصاویر میکروسکوپی سنگ‌های آذرین مافیک کمپلکس آلمابلاخ. (الف) بافت اینترگرانولار که کانی‌های پیروکسن و آمفیبول بین بلورهای پلازیوکلاز قرار گرفته است (نور XPL)، (ب) بافت افیتیک، کانی‌های پلازیوکلاز به صورت پوئی کلیتیک در کانی پیروکسن دیده می‌شود (نور XPL)، (پ) کانی آمفیبول سیز رنگ در مرکز تصویر همراه با بلورهای پلازیوکلاز (نور PPL)، (ت) کانی آمفیبول با رخ یک جهته مشخص و پلازیوکلازها با ماکل پلی سنتتیک (نور XPL)، (ج) کانی پیروکسن که از حاشیه به آمفیبول تبدیل شده است همراه با کانی‌های اپک (نور PPL)، (ح) اپیدوت که از دگرسانی پلازیوکلازها تشکیل شده‌اند (علائم اختصاری استفاده در شکل از [۲۸])

شیمی کانی‌های توده آذرین بازیک کمپلکس آلمابلاخ

پلازیوکلاز: از بلورهای مختلف پلازیوکلاز آنالیز نقطه‌ای الکترون مایکروسکوپی انجام گرفته است. پلازیوکلازها ترکیب شیمیایی $\text{An}_{32}\text{-}\text{An}_{68}$ دارند و در نمودار مثلثی تقسیم‌بندی پلازیوکلازها در محدوده لابرادوریت تا آندزین قرار دارند (شکل ۵ الف).

آلکالی فلدسپار: فراوانی کانی آلکالی فلدسپار در توده نفوذی مافیک کمپلکس آلمابلاگ کم است و شیمی آنها در محدوده $Or_{14}-Or_{20}$ است و در نمودار سه تایی ارتوز-آلبیت-آنورتوكلاز قرار می‌گیرند.

پیروکسن: پیروکسن‌های توده آذرین مافیک کمپلکس آلمابلاگ از نوع کلینوپیروکسن است و در نمودار دوتایی $Q-J$ [۵] در محدوده کلینوپیروکسن‌های کلسیم-منیزیم-آهن‌دار و در نمودار مثلثی تقسیم‌بندی کلینوپیروکسن‌ها (نمودار ولستونیت، انستاتیت، فروسیلیت) در محدوده اوژیت قرار می‌گیرند. ترکیب شیمیایی آنها در محدوده Wo_{22-53} , En_{42-58} , Fs_{23-44} متغیر است و مقدار $\neq Mg$ در محدوده بین ۶۶-۷۶ قرار دارد (شکل ۵ ب). آنالیز الکترون مایکروپرور براي تعیین شیمی کانی کلینوپیروکسن از مرکز کانی انجام شده و در اغلب موارد، شیمی حاشیه این کانی‌ها مربوط به کانی ثانویه آمفیبیول است که تصاویر BSE نیز همانند تصاویر پتروگرافی، این تبدیل شدگی را به خوبی نشان می‌دهند (شکل ۵).



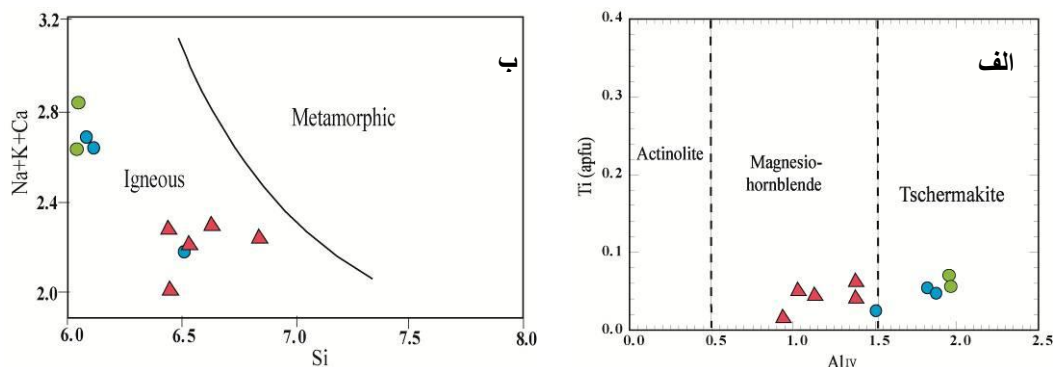
شکل ۵. (الف) نمودار تقسیم‌بندی پلازیوکلازها بر اساس ترکیب شیمیایی [۳۰]. علائم مربع سبز و صورتی، لوزی آبی مربوط به آنالیز پلازیوکلاز در بلورهای مختلف است و علامت دایره قرمز مربوط به آنالیز کانی آلکالی فلدسپار است. (ب) ترکیب شیمیایی کلینوپیروکسن‌ها روی نمودار مثلثی (Wo-En-Fs) (اقتباس از [۵])، تمام نمونه‌ها در محدوده اوژیت قرار می‌گیرند (علائم لوزی با رنگ‌های مختلف آبی، قرمز و قهوه‌ای نشان داده شده در شکل شامل نتایج تجزیه مربوط به سه بلور مختلف کانی کلینوپیروکسن است)

آمفیبیول: آمفیبیول‌های توده آذرین مافیک کمپلکس آلمابلاگ در تقسیم‌بندی آمفیبیول‌ها، جزء گروه کلسیک هستند و بر مبنای تقسیم‌بندی Ti در مقابل Al^{IV} [۳۱] در محدوده چرم‌ماکیت قرار می‌گیرند (شکل ۶الف). برای تشخیص منشأ آمفیبیول‌ها از فراوانی مجموع $(Na+Ca+K)$ نسبت به مقدار (Si) در هر واحد فرمولی بر اساس تقسیم‌بندی سیل و همکاران [۴] استفاده شده است. مقدار Si در آمفیبیول‌های توده مافیک کمپلکس آلمابلاگ در محدوده $6/80-6/100$ و مقدار $(Na+Ca+K)$ در هر واحد فرمولی است. بر مبنای تقسیم‌بندی سیل و همکاران [۴] آمفیبیول‌های اولیه و ثانویه توده مافیک کمپلکس آلمابلاگ در محدوده آمفیبیول‌های ماقمایی قرار می‌گیرند (شکل ۶ب).

کانی آمفیبیول با توجه به بررسی‌های پتروگرافی به صورت ثانویه در حاشیه پیروکسن‌ها نیز تشکیل شده است که برای تعیین ترکیب شیمی این آمفیبیول‌ها از حاشیه پیروکسن‌ها نیز تجزیه انجام شده است و ترکیب شیمی آمفیبیول‌های ثانویه در محدوده مگنزیو-هورنبلیند قرار دارد (شکل ۶ الف).

اپیدوت: میزان ترکیب شیمیایی $[Fe^{3+}/(Fe^{3+}+Al) \times 100]$ اپیدوت در محدوده $Ps_{19}-Ps_{23}$ است که طبق تقسیم‌بندی تولوچ [۶، ۷] در محدوده اپیدوت‌های ثانویه حاصل از دگرسانی پلازیوکلازها است (جدول ۲).

کانی‌های اپک: ترکیب شیمیایی کانی‌های اپک توده نفوذی مافیک کمپلکس آلمابلاع از نوع ایلمنیت است (جدول ۲).



شکل ۶. الف) تقسیم‌بندی کانی‌های آمفیبول توده بازیک کمپلکس آلمابلاع [۳۱]، ب) تعیین نوع آمفیبول‌های توده نفوذی مافیک کمپلکس آلمابلاع [۴]، (علامت دایره سبز و آبی مربوط به آمفیبول‌های اولیه و علامت مثلث قرمز مربوط به آمفیبول‌های ثانویه است)

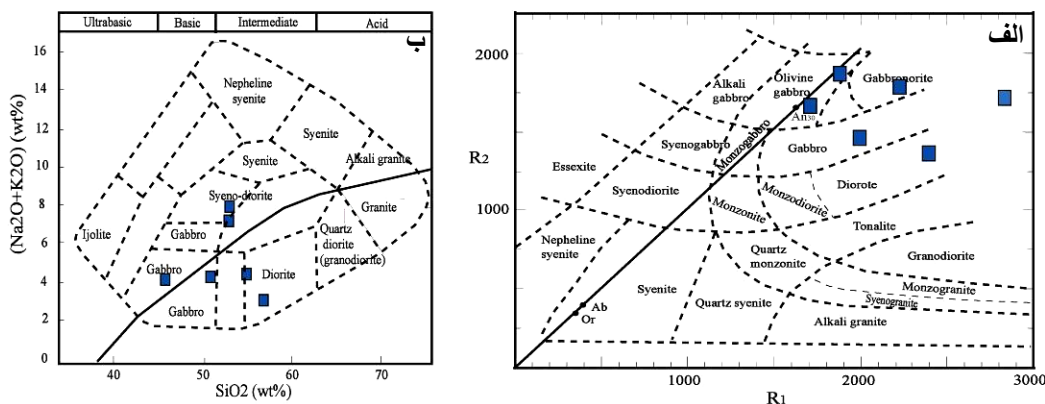
شیمی سنگ کل توده نفوذی مافیک کمپلکس آلمابلاع

در رده‌بندی سنگ‌های آذرین بر مبنای نمودار چند کاتیونی R_1-R_2 [۳۲]، نمونه‌های توده آذرین مافیک به صورت پراکنده در محدوده سنگ‌های دیوریت، گابرو، الیوین گابرو و گابرو نوریت هستند. در رده‌بندی بر مبنای اکسیدهای TAS [۳۳] در محدوده دیوریت، گابرو و سینودیوریت قرار می‌گیرند (شکل ۷). توده نفوذی مافیک دارای SiO_2 با فراوانی ($45/78-57/59$ wt%), MgO ($2/75-5/59$ wt%), K_2O ($0/39-2/39$ wt%) و TiO_2 ($0/40-2/47$ wt%) است. متوسط عناصر نادر خاکی در محدوده ($29/89-100/62$ ppm) است و الگوی REE با میانگین $= 2/21-5/54$ است که غنی‌شدگی مختصراً را برای LREE/MREE ($La/Sm_N = 1/69-2/91$) و همچنین MREE (La/Lu_N) است که HREE ($Gd/Lu_N = 1/0.2-1/94$) نشان می‌دهند. الگوی به حالت مستقیم و با یک گودی مختصراً به سمت بالا است که Eu و Tm آنومالی نسبتاً ضعیفی دارند و آنومالی ضعیف یوروپیم ($Eu/Eu^* = 0/81-1/29$) می‌تواند در ارتباط با نبود یا تفریق جزئی پلازیوکلاز باشد (شکل ۸ الف).

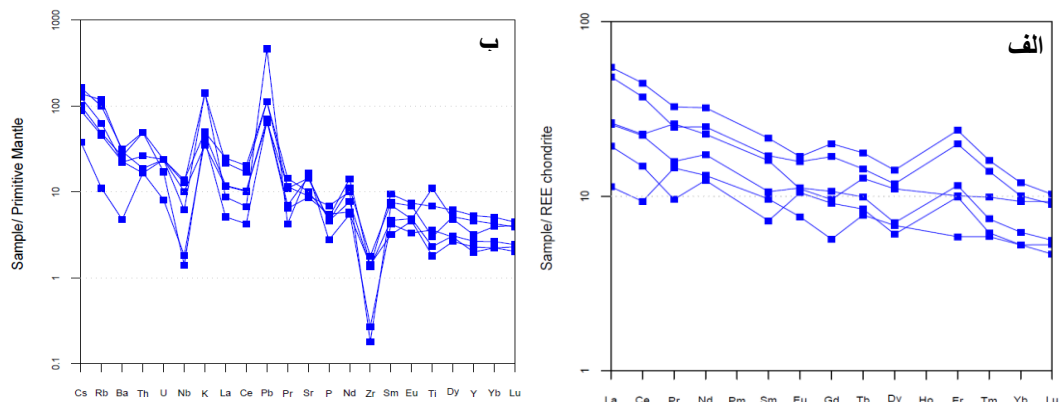
آنومالی منفی Nb و تا حدودی Ti در نمودارهای نرمالیزه شده نسبت به گوشتۀ اولیه می‌تواند نشان‌دهنده شکل گیری توده نفوذی در مناطق فرورانش باشد که حاصل سیالات و مذاب‌های ناشی از لیتوسفر فرورو همراه با متاسوماتیسم شدگی گوه گوشتۀ بالای خودشان است [۳۴] و [۳۵] (شکل ۸ ب).

سری ماقمایی توده نفوذی مافیک کمپلکس آلمابلاع در نمودارهای تعیین سری ماقمایی SiO_2 نسبت به K_2O [۳۶] در محدوده کالکوآلکالن با پتاسیم متوسط است و یک نمونه به دلیل زیاد بودن میزان پتاسیم در محدوده کالکوآلکالن با پتاسیم زیاد قرار می‌گیرد و سری ماقمایی در نمودار سه‌تایی $(Na_2O+K_2O)-FeO_t-MgO$ [۳۷] در

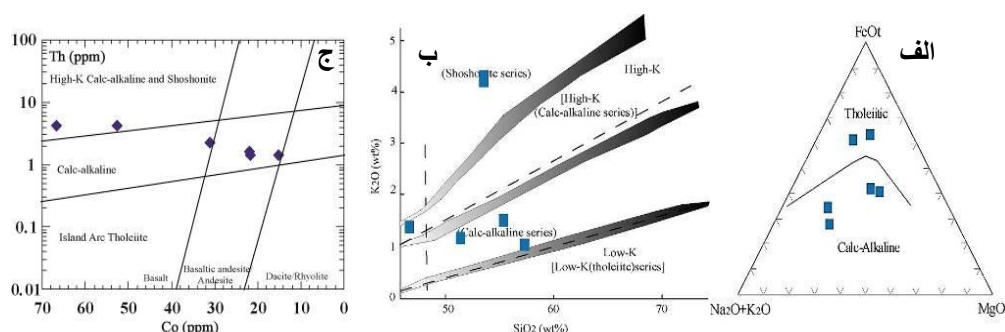
محدوده کالکوآلکالن و دو نمونه با داشتن میزان FeO_t زیاد در محدوده تولیتی قرار دارد. در نمودار Co نسبت به [۳۸] نمونه‌ها در محدوده کالکوآلکالن و در مرز بین کالکوآلکالن و کالکوآلکالن با پتانسیم زیاد قرار می‌گیرند (شکل ۹). نمونه سنگ‌های توده نفوذی مافیک در نمودارهای تفکیک محیط تکتونیکی ($\text{Rb}-(\text{Nb}+\text{Yb})$) و $\text{Rb}-(\text{Ta}+\text{Yb})$ و نمونه سنگ‌های توده نفوذی مافیک در نمودارهای تفکیک محیط تکتونیکی (Ti/Cr) در محدوده قوس آتشفسانی و در نمودار $\text{Ni}/\text{Ti/Cr}$ نسبت Ni در محدوده جزایر قوسی قرار می‌گیرند [۴۰].



شکل ۷. الف) رده‌بندی سنگ‌های آذرین مافیک کمپلکس آلمابولاغ بر مبنای کاتیون‌های R_1-R_2 [۳۲]، ب) رده‌بندی سنگ‌های آذرین مافیک کمپلکس آلمابولاغ بر مبنای درصد وزنی اکسیدهای SiO_2 نسبت به $(\text{Na}_2\text{O}+\text{K}_2\text{O})$ [۳۳]



شکل ۸ الف) تغییرات عناصر نادر خاکی توده نفوذی مجموعه آلمابولاغ نرمالیزه شده به کندریت [۴۱] ب) نمودار تغییرات عناصر ناسازگار نرمالیزه شده به گوشته اولیه [۴۲]



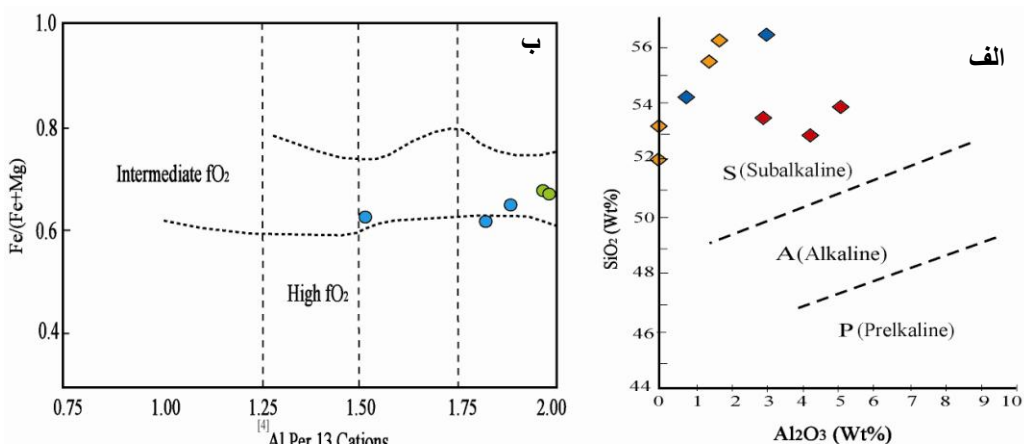
شکل ۹. موقعیت نمونه‌های توده مافیک کمپلکس آلمابولاغ در نمودارهای تعیین سری‌ماگماهای الف) نمودار سه‌تایی [۳۷] $\text{Th}-\text{Co}$ ، ب) نمودار دوتایی $\text{K}_2\text{O}-\text{SiO}_2$ [۳۶]، ج) نمودار دوتایی $\text{FeO}_t-(\text{Na}_2\text{O}+\text{K}_2\text{O})-\text{MgO}$

تعیین سری ماقمایی و محیط تکتونیکی بر مبنای شیمی کانی کلینوپیروکسن

از شیمی کانی پیروکسن در نمودار SiO_2 در مقابل Al_2O_3 [۹] برای تعیین سری ماقمایی توده نفوذی مافیک کمپلکس آلمابلاع استفاده شده است. کلینوپیروکسن‌های توده نفوذی مافیک کمپلکس آلمابلاع در محدوده ساب آلکالن قرار می‌گیرند (شکل ۱۰ الف).

تعیین فوگاسیته اکسیژن ماقمایی

فوگاسیته اکسیژن از جمله فاکتورهایی است که مجموعه کانی‌های سنگ را تحت تأثیر قرار می‌دهد. یکی از روش‌های تعیین فوگاسیته اکسیژن در سنگ‌های نفوذی، بررسی ترکیب آمفیبول‌هایی است که نسبت $\text{Fe}/(\text{Fe}+\text{Mg})$ آن‌ها بیشتر از $3(3 > \text{Fe}/(\text{Fe}+\text{Mg}) > 0.75)$ است و نیز میزان آلومینیم تراهدر آن‌ها بیشتر از $0.75 > \text{Al}/[\text{Al per 13 Cations}]^{[4]}$ است [۱۱]. شیمی آمفیبول‌های کمپلکس آلمابلاع دارای ترکیبی مناسب برای تعیین میزان فوگاسیته اکسیژن هستند که در نمودار [۱۱] آلومینیم تراهدر نسبت به $\text{Fe}/(\text{Fe}+\text{Mg})$ در محدوده فوگاسیته اکسیژن متوسط قرار می‌گیرند (شکل ۱۰ ب).



شکل ۱۰. الف) نمودار SiO_2 در مقابل Al_2O_3 نسبت به Al per 13 Cations برای تعیین سری ماقمایی و محیط تکتونیکی بر مبنای شیمی کانی پیروکسن. محدوده S مربوط به بازالت‌های ساب آلکالن، محدوده A مربوط به بازالت‌های آلالکان، محدوده P مربوط به بازالت‌های پرآلکالن است، اقتباس از [۹، ۱۱، ۱۲]. تعیین میزان فوگاسیته اکسیژن ماقمایی آمفیبول‌های اولیه بر مبنای آلومینیم تراهدر (Al per 13 Cations) در مقابل نسبت $\text{Fe}/(\text{Fe}+\text{Mg})^{[4]}$ در مقابل Al per 13 Cations کانی آمفیبول (علائم همانند شکل ۵ و ۶) [۱۱]

ترموبارومتری توده مافیک کمپلکس آلمابلاع

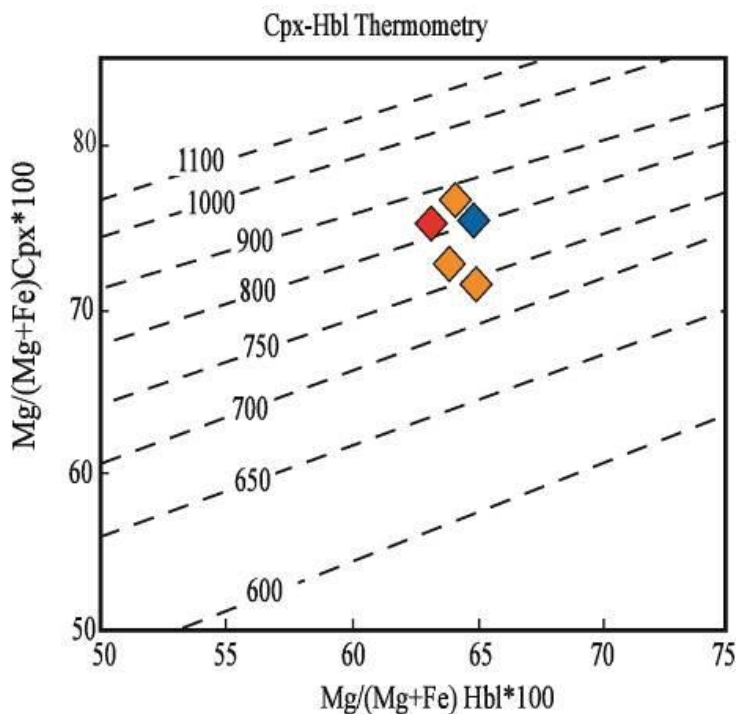
با توجه به حضور پیروکسن و آمفیبول در توده آذرین مافیک کمپلکس آلمابلاع از روش‌های زیر برای تعیین حرارت و فشار (عمق) جایگیری توده نفوذی استفاده شده است.

ترموتری بر مبنای پیروکسن-آمفیبول

ترموتری توده مافیک کمپلکس آلمابلاع، بر مبنای تبادل کاتیون‌های Fe^{2+} و Mg^{2+} بین کانی‌های آمفیبول $\{\text{Mg}/(\text{Mg}+\text{Fe})_{\text{cpx}} \times 100\}$ و کلینوپیروکسن $\{\text{Mg}/(\text{Mg}+\text{Fe})_{\text{hbl}} \times 100\}$ انجام شده است که دمای جایگیری توده مافیک کمپلکس آلمابلاع با استفاده از ترمومتر پیروکسن-آمفیبول [۴۳] در محدوده ۷۵۰ تا ۹۰۰ درجه سانتی‌گراد است (شکل ۱۱).

بارومتری برمبنای آلومینیم آمفیبیول‌ها

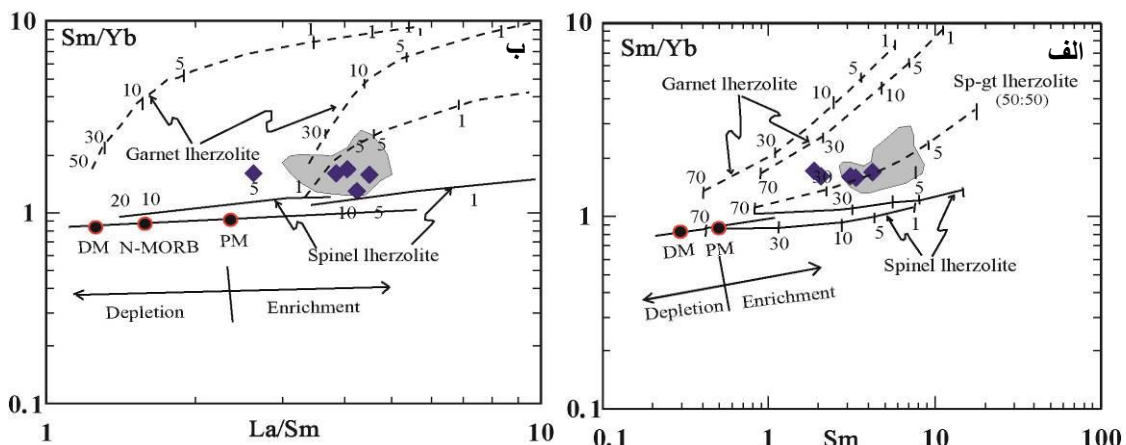
در طول تبلور توده نفوذی، مقدار آلومینیم در آمفیبیول کلسیک می‌تواند رابطه خطی با فشار داشته باشد [۱۰-۱۵]. شرایط لازم برای استفاده از بارومتر آلومینیم در آمفیبیول، حضور کانی‌های کوارتز، پلازیوکلاز، آلکالی فلدوپار، بیوتیت و آمفیبیول در سنگ است [۱۰، ۱۱]. همچنین شرط لازم دیگر برای استفاده از بارومتر آلومینیم در آمفیبیول این است که در تجزیه به روش مایکروپروروب باید کانی آمفیبیولی تجزیه شود که در مجاورت با کوارتز یا آلکالی فلدوپار باشد [۱۰]. شرایطی که ذکر شد در مورد توده نفوذی آلمابولاگ صدق می‌کند و از پاراژنز ذکر شده فقط بیوتیت در این توده حضور ندارد ولی با توجه این‌که شیمی آمفیبیول‌های توده نفوذی مافیک کمپلکس آلمابولاگ در محدوده $(\text{Fe}_{\text{total}} + \text{Mg}) / \text{Fe}_{\text{total}} < 0.65$ هستند (که شرط استفاده از بارومتر آمفیبیول به وسیله [۱۱، ۱۲] معرفی شده است) بنابراین از بارومتر آلومینیم در آمفیبیول برای تعیین فشار جای‌گیری توده نفوذی استفاده شده است (جدول ۳). برای تعیین فشار (عمق) جای‌گیری توده نفوذی مافیک کمپلکس آلمابولاگ با توجه به پاراژنز کانی‌های توده نفوذی مافیک از بارومتر جانسون و رادفورد [۱۵] استفاده شده است که فشار جای‌گیری این توده با بارومتری فوق، بین ۶/۱۲ تا ۷/۵۸ کیلوبار و عمق جای‌گیری توده حدود ۱۸-۲۰ کیلومتر تعیین شده است. نتایج حاصل از بارومترهای هامارستروم و زن [۱۴]، اشمیت [۱۲] و آندرسون و اشمیت [۱۱] برای مقایسه با بارومتر جانسون و رادفورد [۱۵] در (جدول ۴) آورده شده است.



شکل ۱۱. ترمومتری برمبنای کانی‌های کلینوپیروکسن و آمفیبیول اقتباس از [۴۳]

جدول ۴. نتایج بارومتری توده نفوذی مافیک کمپلکس آلمابلاع. نتایج بارومتر جانسون و رادفورد [۱۵] که در این تحقیق استفاده شده در جدول به صورت تیره نمایش داده شده است

	آلمینیم در آمفیبول	بارومترهای آلمینیم در جانسون و رادفورد [۱۶]		همارستروم و زن [۱۷]		اشمیت [۱۴]		[۱۳] P, آندرسون و اشمیت $P = f(AI, T)$		
		متوسط	۵/۶۰	۶/۸۵	۷/۱۸	۷۵۰	۵/۸۳	۸۰۰	۵/۵۴	
Standart deviation		۲/۴۱۹	۲/۸۷۷	۲/۷۲۳		۲/۴۵۵		۲/۲۷۷		
شماره	Al _{total}	P	P	P	T, °C	P	T, °C	P		
T-76-1	۲/۲۶۴	۶/۱۲	۷/۴۷	۷/۷۷	۷۵۰	۶/۳۶	۸۰۰	۵/۰۳		
T-76-2	۲/۶۱	۷/۵۸	۹/۲۱	۹/۴۱	۷۵۰	۷/۸۴	۸۰۰	۶/۴۱		
T-76-3	۲/۳۶۵	۶/۵۴	۷/۹۸	۸/۲۵	۷۵۰	۶/۷۹	۸۰۰	۵/۴۳		
T-76-4	۲/۲۹۳	۶/۲۴	۷/۶۱	۷/۹۰	۷۵۰	۶/۴۸	۸۰۰	۵/۱۴		
T-76-5	۲/۵۳۱	۷/۲۵	۸/۸۱	۹/۰۴	۷۵۰	۷/۵۰	۸۰۰	۶/۰۹		



شکل ۱۲. (الف) نمودار Sm/Yb نسبت به Sm، (ب) نمودار Sm/Yb نسبت به La/Sm. خطوط تیره پایین نمودار مربوط به گوشتۀ تهی شده DMM و گوشتۀ اولیه (PM). نمودار ذوب اسپینل لرزولیت ($Ol_{53} + Opx_{27+}$) و گارنت پریدوتیت ($Cpx_{17} + Sp_{11}$) با ترکیب ($Ol_{60} + Opx_{20} + Cpx_{10} + Gt_{10}$) با دو ترکیب DMM و PM. اعداد درصد درجه ذوب بخشی را نشان می‌دهند [۴۵]. قسمت خاکستری که در شکل نشان داده شده است مربوط به هورنبلند گابرو و الیوین گابروهای معرفی شد به وسیله [۴۵] است که نمونه‌های مربوط به توده مافیک کمپلکس آلمابلاع نیز در محدوده حدوده حدوده گارنت-اسپینل لرزولیت قرار می‌گیرند

بحث

آنومالی منفی Nb نرمالیزه شده نسبت به گوشتۀ اولیه در توده مافیک کمپلکس آلمابلاع، نشان‌دهنده ارتباط این توده با محیط‌های فرورانشی است و آنومالی ضعیف یوروپیم ($Eu/Eu^* = ۰.۸۱-۰.۲۹$) و استرانسیوم (Sr) نشان‌دهنده نبود یا تفریق جزئی پلاژیوکلاز است [۴۴، ۳۵].

عناصر نادر خاکی در توده نفوذی مافیک که نسبت به کندریت نرمالیزه شده‌اند، تقریباً روند خطی با غنی‌شدگی مختصر LREE نسبت به HREE را نشان می‌دهند و این روند عناصر نادر خاکی می‌تواند در ارتباط با تشکیل ماجما از محدوده حدوده گارنت لرزولیت و اسپینل لرزولیت باشد که روندی مشابه با هورنبلند گابروهای معرفی شده در جنوب غرب چین [۴۵] را دارند، از این رو، برای تعیین منشأ ماجمای توده نفوذی مافیک کمپلکس آلمابلاع از فراوانی عناصر

نسبت به Sm و فراوانی Sm/Yb استفاده شده است که در این نمودارها، نمونه‌ها در محدوده حدودی گارنت-اسپینل لزولیت قرار می‌گیرند. بنابراین منشأ ماقمای اولیه توده مافیک از ذوب بخشی گارنت-اسپینل لزولیت است (شکل ۱۴). همچنین زیاد بودن میزان MgO, Cr, Ni و آنومالی مشبت Pb نسبت به گوشه‌های اولیه حاکی از شکل‌گیری ماقمای از گوشه است [۱] و فراوانی نسبی K, Cs, Rb می‌تواند مربوط به تأثیر سیالات در مناطق فرورانشی باشد [۱], [۳۵].

جای‌گاه تکتونیکی توده نفوذی مافیک کمپلکس آلمابولاغ بر مبنای تفکیک محیط‌های تکتونیکی و شیمی کانی پیروکسن، مربوط به مناطق فرورانش و جزایر قوسی است [۳۵], [۴۴] و سری ماقمایی این توده در تقسیم‌بندی سری‌های ماقمایی در محدوده کالکوآلکالن است [۳۶], [۳۷], [۴۰].

شیمی کانی‌های آمفیبیول با فراوانی $\text{Na}+\text{Ca}+\text{K}=6/80-6/80$ و $\text{Si}=6/24-2/24$ در هر واحد فرمولی در محدوده آمفیبیول‌های ماقمایی است که تأثیر سیالات حاصل از فرورانش می‌تواند علت تشکیل آمفیبیول در گابروها باشد [۴۴, ۳۵] و نیز شیمی کانی آمفیبیول حاکی از فوگاسیته متوسط ماقمای توده مافیک است.

نتایج روش‌شیمی و شیمی کانی‌ها نشان می‌دهند که تشکیل توده مافیک کمپلکس آلمابولاغ مربوط به محیط‌های فرورانشی است و از گوشه منشأ گرفته‌اند و قبل از بسته شدن کامل نئوتیس در زون سنندج-سیرجان در مجموعه دگرگونی‌های درجه کم ژوراسیک همدان نفوذ کرده‌اند. تشکیل کانی‌های ماقمایی پیروکسن و آمفیبیول در محدوده دمایی $750-900$ درجه سانتی‌گراد است. فشار (عمق) جای‌گیری این توده بر مبنای بارومتر آلومینیم موجود در آمفیبیول در حدود ۶ تا ۷ کیلوبار است.

نتیجه‌گیری

توده مافیک کمپلکس آلمابولاغ که در شمال غرب استان همدان زون سنندج-سیرجان بروزد دارد. کانی‌های اصلی این توده شامل پلازیوکلاز با ترکیب آندزین-لابرادوریت، کلینوپیروکسن با ترکیب اوژیت و آمفیبیول با ترکیب چرم‌مکیت است.

در توده نفوذی مافیک کمپلکس آلمابولاغ علاوه بر آمفیبیول‌های اولیه، آمفیبیول‌های ثانویه در حاشیه پیروکسن‌ها تشکیل شده‌اند که ترکیب شیمی آن‌ها از نوع مگنزیوهومنیلند است.

سری ماقمایی توده مافیک کمپلکس آلمابولاغ کالکوآلکالن و از لحاظ محیط تکتونیکی مربوط به محیط فرورانشی است. منشأ ماقمایی این توده از ذوب بخشی محدوده گارنت-اسپینل لزولیت است.

جای‌گیری این توده در اوخر ژوراسیک-اوایل کرتاسه قبل از بسته شدن کامل نئوتیس در زون سنندج-سیرجان در دمای $750-900$ درجه سانتی‌گراد و فشار (عمق) ۷-۶ کیلوبار انجام شده است.

منابع

1. Abdelfadil Kh.M., Romer R.L., Seifert Th., Lobst R., "Calc-alkaline lamprophyres from Lusatia (Germany)-Evidence for a repeatedly enriched mantle source", Chemical Geology, 353 (2013) 230-245.

2. Kharbish SH., "Geochemistry and magmatic setting of Wadi El-Markh island-arc gabbro-diorite suite, central Eastern Desert, Egypt", *Chemie der Erde//Geochemistry*, 70 (2010) 257-266.
3. Masoudi F., Jamshidibadr M., "Biotite and hornblende composition used to investigate the nature and thermobarometry of Pichagchi pluton, Northwest Sanandaj-Sirjan metamorphic belt, Iran. Journal of Sciences", *Islamic Republic of Iran*, 19/4 (2008) 329-338.
4. Sial A.N., Ferreira V.P., Fallick A.E., Jeronimo M., Cruz M., "Amphibole-rich clots in calc-alkalic granitoids in the Borborema province northeastern Brazil", *Journal of South American Earth Science*, 11(1998) 457-471.
5. Morimoto N., Fabries J., Ferguson A.K., Ginzburg I.V., Ross M., Seifert F.A., Zussman J., Aoki K., Gottardi G., "Nomenclature of pyroxenes", *American Mineralogist*, 73 (1988) 1123-1133.
6. Tulloch A.J., "Secondary Ca-Al silicates as low grade alteration products of granitoid biotite", *Contributions to Mineralogy and Petrology*, 69 (1979) 105-17.
7. Tulloch A.J., "Comment on 'Implications of magmatic epidote-bearing plutons on crustal evolution in the accreted terranes of north-western North America and Magmatic epidote and its petrologic significance'", *Geology*, 14 (1986) 186-7.
8. Lindsley D. H., "Pyroxene thermometry", *American Mineralogist*, 68 (1983) 477-493.
9. Nisbet E.G., Pearce J.A., "Clinopyroxene composition of mafic lavas from different tectonic settings", *Contributions to Mineralogy and Petrology*, 63 (1977) 161-173.
10. Stein E., Dietl C., "Hornblende thermobarometry of granitoids from the Central Odenwald (Germany) and their implications for the geotectonic development of the Odenwald", *Mineralogy and Petrology*, 72 (2001) 185-207.
11. Anderson J.L., Smith D.R., "The effects of temperature and fO_2 on the Al-in-hornblende barometer", *American Mineralogist*, 80 (1995) 549-559.
12. Schmidt M.W., "Amphibole composition in tonalite as a function of pressure: An experimental calibration of the Al-in-hornblende barometer", *Contributions to Mineralogy and Petrology*, 110 (1992) 304-310.
13. Thomas W.M., Ernst W.G., "The aluminium content of hornblende in calc-alkaline granitic rocks: A mineralogic barometer calibrated experimentally to 12kbar: In: Spencer R.J. and

- Chou I.M (Eds.), Fluid-mineral interactions: A tribute to HP Eugster", The Geochemical Society Special Publication, 2 (1990) 59-63.
14. Hammarstrom J.M., Zen E., "Aluminum in hornblende: An empirical igneous geobarometer" American Mineralogist, 71 (1986) 1297-1313.
15. Johnson M.C., Rutherford M.J., "Experimental calibration of the aluminum-in-hornblende geobarometer with application to Long Valley Caldera (California) volcanic rocks", Geology, 17 (1989) 837-841.
16. Jamshidibadr M., "Evidence of the Effect of Metasomatism and Introduction Tourmalinite Veins in the Almabulage complex (NW Iran)". Journal of Tethys, 2/4 (2014) 272-286.
17. Azizi H., Asahara Y., "Juvenile granite in the Sanandaj Sirjan Zone, NW Iran: Late Jurassic – Early Cretaceous arc continental collision", International Geology Review, 59(2013) 1-18.
18. Yajam S., Montero P., Scarrow H., Ghalamghash J., Razavi S.M.H., Bea F., "The spatial and compositional evolution of the Late Jurassic Ghorveh-Dehgolan plutons of the Zagros Orogen, Iran: SHRIMP zircon U-Pb and Sr and Nd isotope evidence", Geological Acta. 13/1(2015) 25-43.
19. Azizi H., Asahara Y., Mehrabi B., Chung S.L., "Geochronological and geochemical constraints on the petrogenesis of high-K granite from the Suffi abad area, Sanandaj-Sirjan Zone, NW Iran", Chemie der Erde/Geochemistry, 71 (2011) 363-376.
20. Mahmoudi Sh., Corfu F., Masoudi F., Mehrabi B., Mohajjal M., "U-Pb dating and emplacement history of granitoid plutons in the northern Sanandaj–Sirjan Zone, Iran", Journal of Asian Earth Sciences, 41(2011) 238-249.
21. Shahbazi H., Siebel W., Pourmoafee M., Ghorbani M., Sepahi A.A., Shang C.K., Vouslyghi Abedini M., "Geochemistry and U–Pb zircon geochronology of the Alvand plutonic complex in Sanandaj-Sirjan Zone (Iran): new evidence for Jurassic magmatism", Journal of Asian Earth Sciences, 6 (2010) 668-683.
22. Azizi H., Asahara Y., "Juvenile granite in the Sanandaj Sirjan Zone, NW Iran: Late Jurassic-Early Cretaceous arc continental collision", International Geology Review, 59 (2013) 1-18.

23. Valizadeh M.V., Cantagrel J.M., "Premières données stratiométriques (K-Ar/Rb-Sr) sur les micas du complexe magmatique du mont Alvand, près d'Hamadan (Iran occidental). Comptes Rendus I", Acad. Sci Paris D, 281 (1975) 1083-1086.
24. Shahbazi H., Siebel W., Ghorbani M., Pourmoafee M., Sepahi A.A., Vousoughi Abedini M., Shang C.K., "The Almogholagh pluton, Sanandaj-Sirjan zone, Iran: geochemistry, U-(Th)-Pb titanite geochronology and implications for its tectonic evolution", Neues Jahrbuch für Mineralogie-Abhandlungen Journal of Mineralogy and Geochemistry, 192/1 (2015) 85-99.
25. Aghazadeh M., Castro A., Badrzadeh Z., Vogt K., "Post-collisional polycyclic plutonism from the Zagros hinterland. The Shaivar-Dagh plutonic complex Alborz belt, Iran", Geological Magazine, 148 (2011) 980-1008.
26. Aghazadeh M., Castro A., Omran N.R., Emami M.H., Moinvaziri H., Badrzadeh Z., "The gabbro (shoshonitic)-monzonite-granodiorite association of Khankandi pluton, Alborz Mountains, NW Iran", Journal of Asian Earth Sciences, 38 (2010) 199-219.
27. Ashragi S.A., Mahmoudi Garaii M., "Tuyserkan geological map", scale 1:100000 Geological Survey and Mineral Exploration country, (2003).
28. Kretz R., "Symbols for rock-forming minerals", American Mineralogist, 68 (1983) 277-279.
29. Streckeisen A.L., "Classification and nomenclature of plutonic rocks", Geologische Rundschau, 63 (1974) 773-786.
30. Deer W.A., Howie R.A., Zussman J., "An Introduction to the Rock Forming Minerals", 2nd ed., Longman, London, (1992).
31. Leake E., Woolley A.R., Birch W.D., "Nomenclature of amphiboles: report of the subcommittee on amphiboles of the international mineralogical association commission on new mineral names", Canadian Mineralogist, 35 (1997) 219-246.
32. De La Roche H., Leterrier J., Grande P., Marchal M., "A classification of volcanic and plutonic rocks using R_1-R_2 diagrams and major element analyses, its relationship and current nomenclature", Chemical Geology, 29 (1980) 183-210.
33. Wilson M., "Igneous petrogenesis a global tectonic approach", Department of Earth sciences, university of leeds", London, UNWIN HYMAN (1989).

34. Chappell B.W., White A.J.R., "I- and S-type granites in the Lachlan fold belt. Transactions of the Royal Society of Edinburgh", Earth Sciences, 83 (1992) 1-26.
35. Gill R., "Igneous Rocks and Processes: A Practical Guide", Wiley-Blackwell, Chichester, UK, (2010) 440, ISBN 978-06320-6377-2.
36. Rickwood P.C., "Boundary lines within petrologic diagrams which use oxides of major and minor elements". Lithos, 22 (1989) 247-264.
37. Irvine T.N., Baragar W.R.A., "Aguide to the chemical classification of the common volcanic rocks". Canadian Journal of Earth Sciences, 8 (1971) 523-548.
38. Hastie A.R., Kerr A.C., Pearce J.A., Mitchell S.F., "Classification of altered volcanic island arc rocks using immobile trace elements: development of the Th-Co discrimination diagram", Journal of Petrology, 48 (2007) 2341-2357.
39. Pearce J.A., Harris N.B.W., Tindle A.G., "Trace element discrimination diagrams for the tectonic interpretation of granitic rocks", Journal of Petrology, 25 (1984) 956-983.
40. Beccaluva L., Ohnesticter D., Ohnesticter M., "Geochemical discrimination between ocean floor island arc tholeiite, application to some ophiolites", Ophioliti 4/1(1979) 67-72.
41. Boynton W.V., "Consmochemistry of the rare earth elements meteorite stud-ies. In: Henderson, P. (Ed.), Rare Earth Element Geochemistry", Elsevier Sciences, Amsterdam, (1984) 63-114.
42. Thompson R.N., "Magmatism of the British Tertiary volcanic province", Scottish Journal of Geology, 18 (1982) 9-107.
43. Anderson J.L., "Status of thermobarometry in granitic batholiths", Trans Royal Soc Edinburgh. Earth Sciences, 87/2 (1996) 125-138.
44. Pearce J.W., Peate D.W., "Tectonic implications of the composition of volcanic arc magmas". Earth and Planetary Science Letters, 23 (1995) 251-285.
45. Zhao J-H., Zhou M-F., "Geochemistry of Neoproterozoic mafic intrusions in the Panzhihua district (Sichuan Province, SW China): Implications for subduction-related metasomatism in the upper mantle", Precambrian Research, 152 (2007) 27-47.